

АКАДЕМИЯ НАУК СССР
ОРДЕНА ЛЕНИНА ИНСТИТУТ ОБЩЕЙ И НЕОРГАНИЧЕСКОЙ
ХИМИИ им. Н.С. КУРНАКОВА

На правах рукописи
УДК 548.736⁷³⁷

АБДУЛЛАЕВ Асим Сабри оглы

СИНТЕЗ И СТРОЕНИЕ ЖЕЛЕЗО-СЕРУ-СОДЕРЖАЩИХ
ГЕТЕРОМЕТАЛЛИЧЕСКИХ КЛАСТЕРОВ

02.00.01 - неорганическая химия

А В Т О Р Е Ф Е Р А Т
диссертации на соискание ученой степени
кандидата химических наук

Работа выполнена в Ордена Ленина Институте общей и неорганической химии им. Н.С.Курнакова АН СССР

Научный руководитель: - доктор химических наук

А.А.Пасынский

Официальные оппоненты:- доктор химических наук

Е.Г.Ильин

доктор химических наук

Б.М.Булычев

Ведущая организация - Ордена Ленина Институт элементоорганических соединений им. А.Н.Несмеянова АН СССР

Защита диссертации состоится "18" февраля 1987 г. в
10 час. на заседании Специализированного Совета по присуждению ученой степени кандидата наук К 002.37.01 в Ордена Ленина Институте общей и неорганической химии им. Н.С.Курнакова АН СССР по адресу: 117907, ГСП-1, Ленинский пр. 31.

С диссертацией можно ознакомиться в библиотеке ОХН АН СССР.

Автореферат разослан "20" января 1987 г.

Ученый секретарь

Специализированного Совета
кандидат химических наук

Лишинь

И.Ф.Аленчикова

ОБЩАЯ ХАРАКТЕРИСТИКА РАБОТЫ

Актуальность работы. Железо-серу-содержащие кластеры входят в состав природных редокс-ферментов типа ферредоксинов $2Fe\text{-}2S$ и $4Fe\text{-}4S$ / T.G.Spiro, Ed., Iron-Sulfur Protein, Wiley, New York. 1982/, которые моделируются комплексами $(SR)_2Fe(S)_2Fe(SR)_2^{n-}$ или $(SR)_4Fe_4S_4^{n-}$. Кроме того, эти кластеры участвуют в формировании MoFeS -содержащих фрагментов в активном центре кофактора нитрогеназы, обеспечивающей превращение молекулярного азота в аммиак. Поэтому актуальна разработка методов направленного синтеза железо-серу-содержащих кластеров и их гетерометаллических производных, а также исследование взаимосвязи между электронным и геометрическим строением кластеров.

Цель работы. Поиск путей синтеза железо-серу-содержащих кластеров, содержащих различные гетерометаллические фрагменты; получение и исследование монокристаллов таких кластеров, пригодных для рентгеноструктурного анализа; установление корреляций между электронным строением и структурами кластеров.

Научная новизна. Установлена роль стерического влияния тиолатных мостиков в реакциях наращивания остова биядерных тиолат-карбонилов железа и показана мягкость термодиссоциации связи $S-CMe_3$, которая приводит к образованию сульфидмостиковых комплексов. Впервые проведены реакции переметаллирования $Fe_3S_2(CO)_9$ с образованием кластера $(PPh_3)_2Pd(\mu^3-S)_2Fe_2(CO)_6$, а также использование $Fe_3S_2(CO)_9$ как "строительного блока" в синтезе нового гетерометаллоспиранового кластера $(Cp_2Cr_2SCMe_3)(S)_2Fe(S)_2Fe_2(CO)_6$. Окислительным присоединением $Fe_2S_2(CO)_6$ к 1-бис-метилцикlopентадиенил/ ванадию, Cp'_2V , получен необычный парамагнитный кластер $(Cp'_2V)_2S_2Fe_2(CO)_6$, моделирующий один из каналов обменных взаимодействий в магнитных

материалах. Окислительным присоединением $Fe_2S_2(CO)_8$ к молибден-карбонильному фрагменту получен уникальный кластер $Mo_2Fe_7S_8(CO)_{22}$, который моделирует одну из стадий "сборки" активного центра кофактора нитрогеназы и впервые показывает структурно-организующую роль атомов молибдена, группирующих вокруг себя атомы железа за счет прочных связей $Mo-Fe$.

Практическая ценность. Установлена возможность получения тиолатных комплексов железа непосредственно из $Fe(CO)_5$. Показана возможность использования легко доступного кластера $Fe_5S_2(CO)_9$ в реакциях переметаллирования или замещения CO , приводящих к направленному синтезу новых гетерометаллических кластеров. Такие железо-серу-содержащие карбонильные кластеры, включающие атомы палладия, ванадия или молибдена, могут быть исходными для получения смешанно-металлических иммобилизованных катализаторов.

Апробация работы. Основные результаты докладывались на Всесоюзной конференции по неорганической кристаллохимии /Бухара, декабрь 1986 г./, 9-й конференции молодых ученых Университета Дружбы народов им. П.Лумумбы /Москва, июнь 1986 г./, Всесоюзных семинарах по химии кластерных /Москва, МГУ, январь 1986 г./ и полиядерных комплексов /Горький, март 1986 г./, а также на конференциях-конкурсах работ ИОНХ АН СССР /декабрь 1985 г. и 1986 г./.

Публикации. По теме диссертации опубликовано 4 статьи.

Объем и структура диссертации. Диссертация изложена на страницах машинописного текста, включает введение, литературный обзор, обсуждение результатов, экспериментальную часть, выводы и список литературы. Общий объем стр., в том числе рис., табл.

СОДЕРЖАНИЕ РАБОТЫ

Первая глава включает литературный обзор сульфидомостиковых железо-содержащих гетерометаллических кластеров.

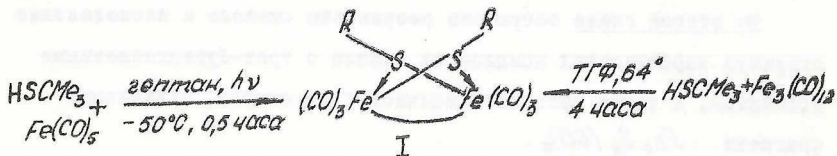
Во второй главе обсуждены результаты синтеза и исследования структур карбонильных комплексов железа с трет-бутилтиолатными мостиками, а также гетерометаллических кластеров, включающих фрагмент $Fe_2S_2(CO)_6$.

I. Синтез и особенности строения трет-бутилтиолат- мостиковых карбонильных комплексов железа

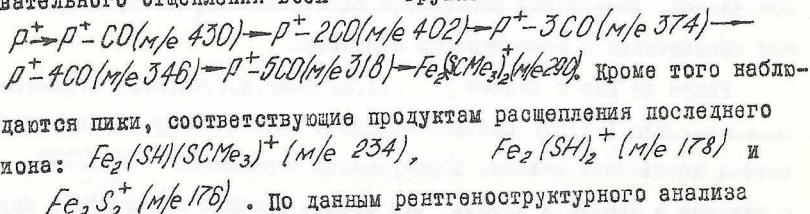
Мы начали исследование с простых би- и триядерных карбонилов железа, содержащих объемистые электронодонорные трет-бутильные заместители в меркаптидных мостиках.

Ранее де Бир и Хайнес / J.A.de Beer, R.J.Haines, J.Chem.Soc. Chem.Com., 288, (1970) / провели обширное исследование карбонилтиолатных комплексов железа, образующихся в реакциях $Fe_3(CO)_{12}$ с тиолами и пришли к выводу, что только тиолы с объемистыми группировками CMe_3 способны стабилизировать первоначально образующиеся трехядерные кластеры $Fe_3(CO)_9(H)(SR)$ и $Fe_3(CO)_9(SR)_2$. Однако даже в этом случае при избытке меркаптана легко образовался биядерный комплекс $Fe_2(CO)_6(SR)_2$, который вновь переходил в трехядерный при взаимодействии с дополнительным количеством $Fe_3(CO)_{12}$. Своеобразие заместителей CMe_3 проявлялось также в легкости анти-син-изомеризации в растворах, не позволяющей разделить изомеры, в отличие от комплексов с $R=Me$, Et или Bz . Поскольку кристаллический комплекс с $R=Et$ является анти-изомером, то представлялось интересным объективно установить структуру биядерного комплекса $Fe_2(CO)_6(\mu-SBut)_2(I)$. Он был

получен новым путем - фотохимической реакцией $Fe(CO)_5$ и $HSCMe_3$ в соотношении реагентов 1:4 при низкой температуре -50° , 0,5 часа/, а также известным синтезом из $Fe_3(CO)_{12}$ и меркаптаны:



I выделен перекристаллизацией из пентана в виде желто-оранжевых призм. В ИК-спектре комплекса присутствуют полосы валентных колебаний CO -групп при 1960, 1972, 2005 и 2057 см^{-1} . В масс-спектре I наблюдается молекулярный ион P^+ и продукты последовательного отщепления всех CO -групп:



По данным рентгеноструктурного анализа /рис. I/, I содержит два атома Fe , расположенные на связывающем расстоянии $2,530/2$ Å. Кроме того, каждый атом Fe координирован с тремя CO -группами и двумя мостиковыми лигандами / $SCMe_3$ / $Fe-S$ $2,246/3$ / - $2,279/4$ Å/. При этом фрагмент Fe_2S_2 образует остов - "бабочку" с двугранным углом между крыльями Fe_2S_2 ($93,6^{\circ}$). В целом геометрия I близка к описанной для структуры $(CO)_6Fe_2(\mu-SEt)_2$ /анти-изомер/. Вероятно, благодаря электронодонорным свойствам трет-бутильных групп оказывается стабильным трехъядерный продукт присоединения еще одной группы $Fe(CO)_3$, тогда как при $R=Et$ такое присоединение не идет.

Действительно, фотохимическая реакция $Fe(CO)_5$ с трет-бутилмеркаптаном в соотношении 1:2 в мягких условиях приводит к обра-

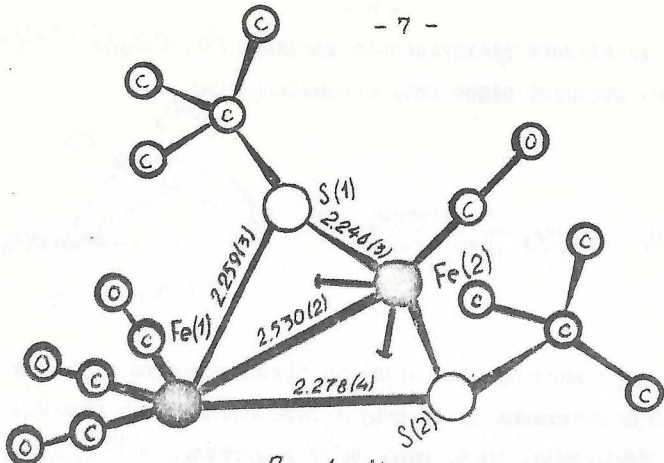


Рис.1 Молекулярная структура $\text{Fe}_2(\text{CO})_6(\mu\text{-SBu}_4^t)_2$

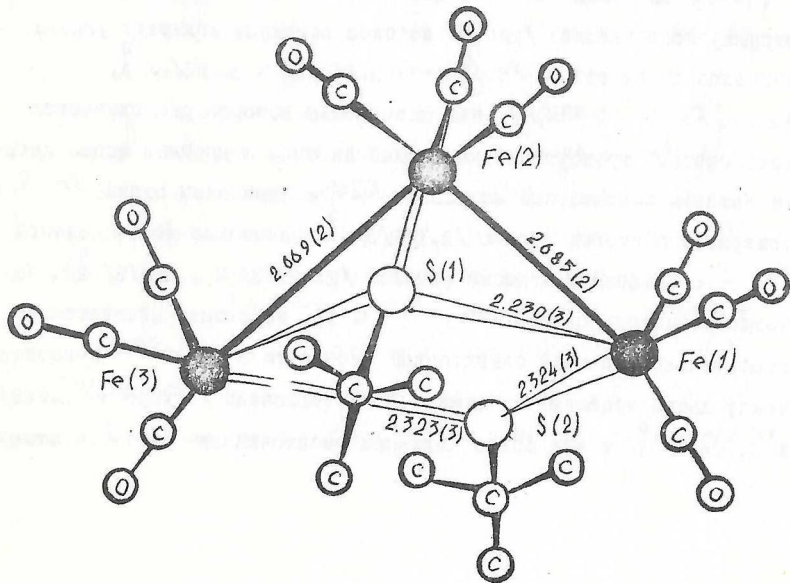
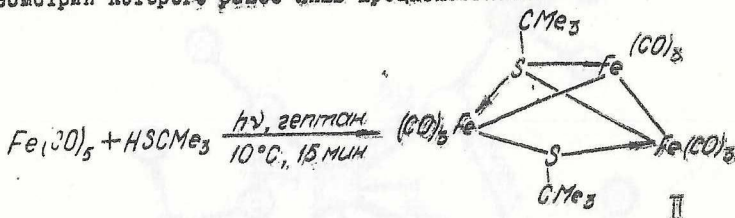


Рис.2 Молекулярная структура $\text{Fe}_3(\text{CO})_9(\mu_3\text{-C}_6\text{H}_6)_2$

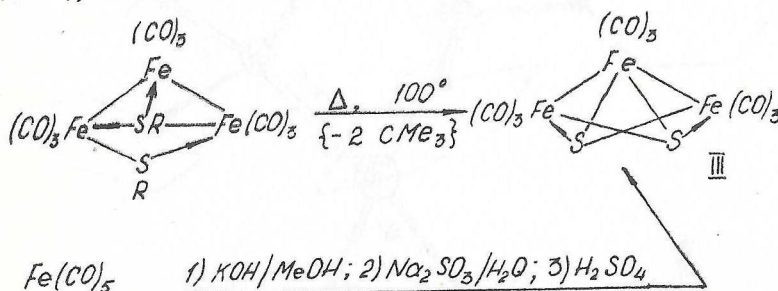
зование известного трехъядерного кластера $Fe_3(CO)_9(\mu^5-SR)(\mu-SR)$, геометрия которого ранее лишь предполагалась:



II выделен в виде оранжево-красных призматических кристаллов. В ИК-спектре комплекса присутствуют полосы валентных колебаний CO -групп /1935, 1980, 2025, 2060 cm^{-1} / и лигандов CMe_3 /1132, 1370, 2835, 2910, 2950 cm^{-1} / . Масс-спектр кластера содержит широкий молекулярный ион $P^+ (m/e 598)$, а также продукты последовательного отщепления CO -групп и меркаптидных лигандов. Что касается его геометрии, то из анти-конфигурации димерного комплекса ясна возможность координации $Fe(CO)_3$ только с одной мостиковой тиолатной группой. Кроме того, возможно внедрение $Fe(CO)_3$ по связи $Fe-Fe$. Действительно, по данным рентгеноструктурного анализа /рис.2/ оставшиеся молекулы являются угловая металлоцепь из атомов Fe ($Fe-Fe$ 2.669/2/ и 2.685/2/ \AA , $Fe \dots Fe$ 3.406/2/ \AA), над плоскостью которой располагается тридентатный третбутилмеркаптидный лиганд, а крайние атомы железа связаны бидентатным мостиком $SCMe_3$. При этом связь $Fe-S$ с центральным атомом железа /2.142/3/ \AA несколько короче связей $Fe-S$ с концевыми атомами металла /2.226/3/ и 2.230/3/ \AA . Неэквивалентность связей $Fe-\mu^3-SR$ в II, вероятно, диктуется дополнительной подачей электронной плотности с μ^2-SCMe_3 -мостика между двумя крайними атомами Fe металлоцепи / $Fe-\mu^2-SR$ 2.323/8/ и 2.324/3/ \AA / с еще более длинными расстояниями $Fe-S$. Отме-

тим, что один мостик донирует пять, а другой - три электрона, т.е. всего восемь.

При нагревании трехъядерного комплекса трет-бутильные группы легко удаляются и образуется сигма-связь $\text{Fe}-\text{S}$. Теперь оба мостика донируют по четыре электрона, так что суммарный вклад не меняется и металлоостов "разомкнутого треугольника" остается без изменения /структура этого комплекса $\text{Fe}_3\text{S}_2(\text{CO})_9$ известна и комплекс легко доступен в другом / C.H.Wei, L.F.Dahl, Inorg. Chem 4, 494 /1965/ методе, указанном на схеме :



2. Синтез и строение гетерометаллических производных $\text{Fe}_2\text{S}_2(\text{CO})_6$, содержащих атомы палладия и ванадия

Своеобразным аналогом димера $\text{Fe}_2(\text{CO})_6(\text{SCMe}_3)_2$ является "неорганический дисульфид" $\text{Fe}_2(\text{CO})_6\text{S}_2$ (IV), который также имеет остав "бабочки" Fe_2S_2 с короткой связью $\text{Fe}-\text{Fe}$ / $2,52 \text{ \AA}$ /, однако атомы серы связаны между собой / $\text{S}-\text{S}$ $2,01 \text{ \AA}^0$ /.

Известно его использование для получения гетерометаллических кластеров путем окислительного присоединения к низковалентным комплексам металлов, в частности, $(\text{PPh}_3)_2\text{Pd}(\text{C}_2\text{H}_4)$ с образованием $(\text{PPh}_3)_2\text{Pd}(\mu^5-\text{S})_2\text{Fe}_2(\text{CO})_6$ (V). Однако геометрия

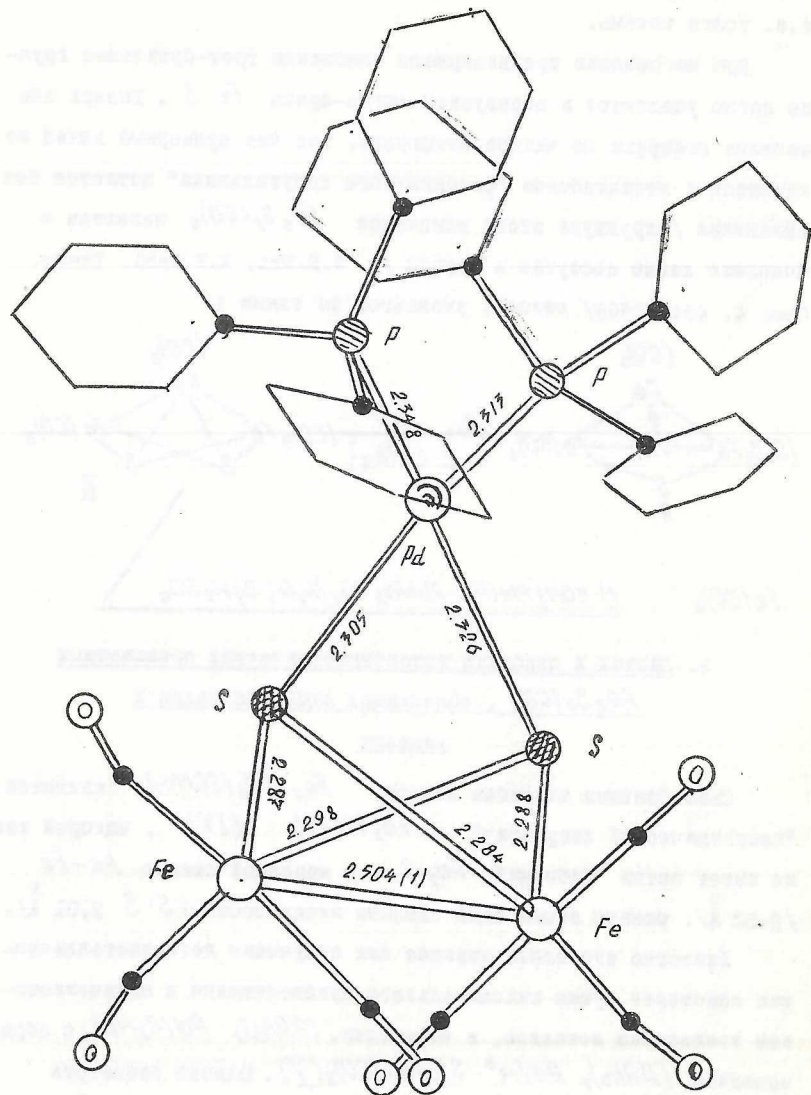
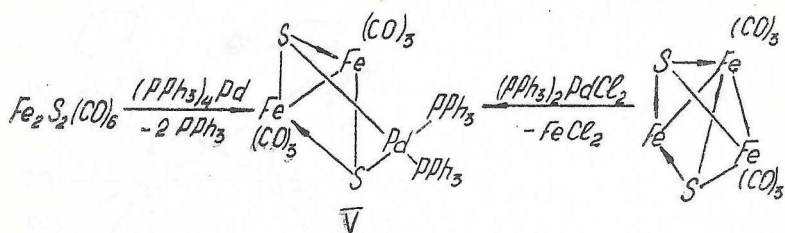


Рис 3. Молекулярная структура $(\mu\text{Ph}_3)_2\text{Pd}(\text{M}_3\text{S})_2\text{Fe}_2(\text{CO})_6$

● = C

комплекса установлена не была / V.W.Day, D.A.Lesch, T.B.Rauchfuss, J.Amer.Chem.Soc., 104, 1290, (1982) /.

Мы показали, что V может быть также получен, исходя из $\text{Fe}_2\text{S}_2(\text{CO})_6$ и $\text{Pd}(\text{PPh}_3)_4$, или необычным перemetаллизированием комплекса $\text{Fe}_3(\text{S})_2(\text{CO})_9$ под действием $(\text{PPh}_3)_2\text{PdCl}_2$:



В последнем случае атом железа удаляется в виде FeCl_2 , т.е. происходит обмен ацидными лигандами между Pd и отщепляющимся атомом Fe без изменения степени окисления Pd(II) . По данным рентгеноструктурного анализа /рис.3/ в (V) присутствует лишь одна связь $\text{Fe}-\text{Fe}$ $12,504 \text{ \AA}$, которая заметно короче длины связи $\text{Fe}-\overset{\text{O}}{\text{Fe}}$ в исходном $\text{Fe}_3\text{S}_2(\text{CO})_9$ $12,60 \text{ \AA}$, тогда как расстояния $\text{Pd}\dots\text{Fe}$ являются несвязывающими $13,329/4$ и $13,361/4 \text{ \AA}$, а присоединение атома Pd идет только через два μ^3 -сульфидных мостика / Pd-S $2,305/6$ и $2,326/6 \text{ \AA}$. Координация атома Pd дополняется до типичной для Pd(III) плоско-квадратной за счет двух лигандов PPh_3 / Pd-P $2,313/6$ и $2,348/5 \text{ \AA}$. По-видимому, именно устойчивостью такого окружения Pd(III) определяется отсутствие прямого взаимодействия Pd-Fe .

Процесс перemetаллизации можно также представить, как первоначальное генерирование фрагментов $\text{Fe}_2\text{S}_2(\text{CO})_6$ и $\text{Pd}(\text{PPh}_3)_2$ и дальнейшее окислительное присоединение с внедрением атома по связи S-S , т.е. как в реакции с $\text{Pd}(\text{PPh}_3)_4$.

учитывая окислительную способность дисульфидной группировки в $Fe_2S_2(CO)_6$, мы провели реакцию последнего с Cp'_2V ($Cp' = MeC_5H_4$). Независимо от соотношения реагентов получается тетраядерный комплекс $[(MeC_5H_4)_2V]_2 (M^3-S)_2 Fe_2(CO)_6$:

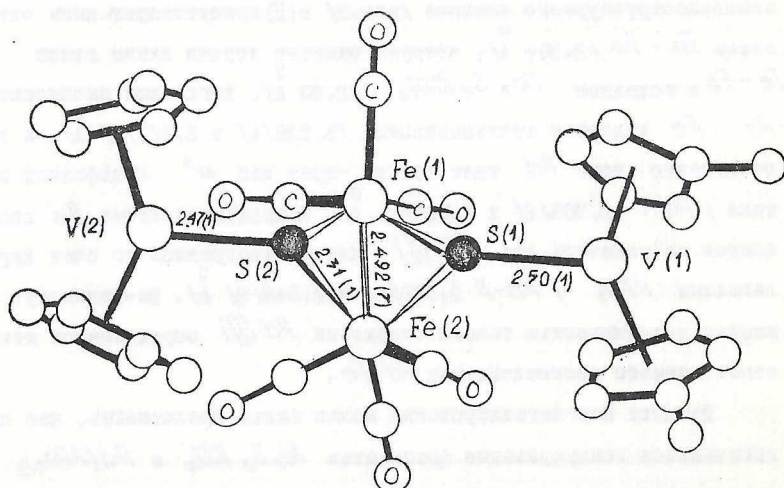
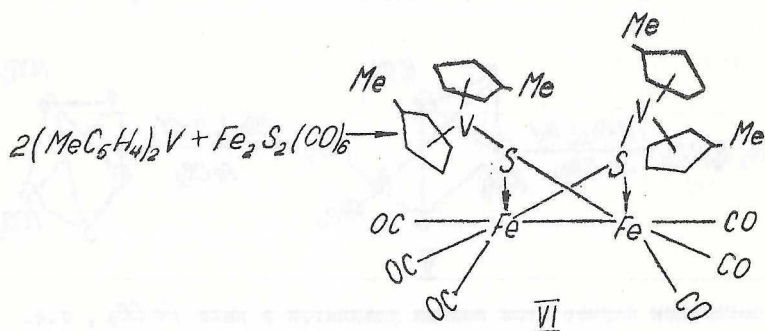


Рис. 4. Молекулярная структура $[(MeC_5H_4)_2V]_2 (M^3-S)_2 Fe_2(CO)_6$

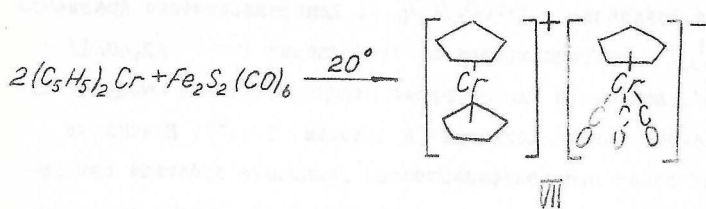
$O = C$

По данным рентгеноструктурного анализа /рис.4/ парамагнитного комплекса VI фрагмент Fe_2S_2 / $Fe-S$, в среднем, 2,30 Å/ имеет геометрию "бабочки" с двугранным углом между "крыльями" Fe_2S 96,4° и со связью $Fe-Fe$ 12,492/7 Å, которая укорочена даже по сравнению с $Fe_2S_2(CO)_6$. Клиносэндвичевые фрагменты $(MeC_5H_4)_2V$ присоединяются за счет связей $V-S$ 12,47/1 и 2,50/1 Å, лежащих в биссекторных плоскостях углов между метилцикlopентадиенильными кольцами /в среднем, 37,4°/. В этих же плоскостях лежат две полузаполненные граничные орбитали сэндвичевых фрагментов, которые, по соображениям симметрии, не могут перекрываться с орбиталями атомов железа, поэтому расстояния $V...Fe$ оказываются несвязывающими /более 3,30 Å/. Таким образом, получился аналог биядерного тиолатного комплекса железа, в котором у "бабочки" Fe_2S_2 алкильные группы заменены на ванадоценовые фрагменты. На сегодняшний день это единственный структурно охарактеризованный пример син-конфигурации в таких комплексах, когда заместители при атомах серы направлены в разные стороны. С другой стороны, в отсутствие связей $V-Fe$ у каждого атома ванадия сохраняются неспаренные электроны на двух орбиталах

в биссекторной плоскости угла между кольцами, что открывает возможность изучения обменных взаимодействий через цепочку $M-S-M'-S-M$, где M - парамагнитный атом, а M' - диамагнитный. Это является наиболее близкой моделью обменных процессов в магнитных халькохромитах кадмия или цинка.

В аналогичной реакции $Fe_2S_2(CO)_6$ с хромоценоном, $(C_5H_5)_2Cr$, при соотношении реагентов 1:2 не удается выделить кристаллические продукты /образуются нерастворимые смолистые вещества/. Однако если бензольный раствор хромоцена осторожно покрыть слоем гептанового раствора $Fe_2S_2(CO)_6$, то через два дня

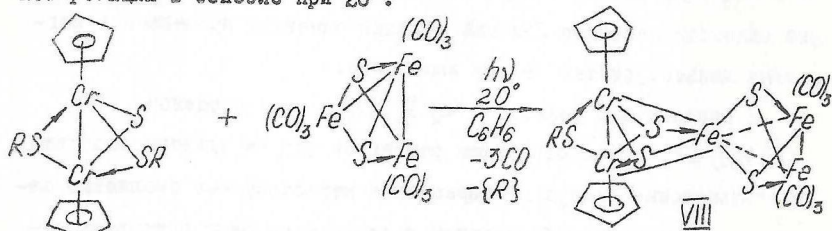
выдерживания при комнатной температуре образуются темно-коричневые кристаллы известного ионного комплекса $(C_5H_5)_2Cr^+$. $\cdot(C_5H_5)Cr(CO)_3^-$ (VII)*, т.е. $Fe_2S_2(CO)_6$ выступает как карбонилирующий агент:



Строение комплекса установлено рентгеноструктурным анализом /в катионе $Cr-C_5H_5$ $2,171/4/ - 2,199/4/\text{\AA}$; в анионе $Cr-C_5H_5$ $2,196/5/ - 2,205/5/\text{\AA}$, $Cr-CO$ $1,784/5/ - 1,796/5/\text{\AA}$, $C-O$ $1,167/5/ - 1,178/7/\text{\AA}$.

3. Направленный синтез антиферромагнитного сульфидомистикового кластера с гетерометаллоспиранным остовом Cr_2Fe_3 .

Следующим новым шагом было конструирование пентаядерного гетерометаллического кластера спиранового типа из открытого в нашей лаборатории биядерного комплекса хрома $(C_5CrSCMe_3)_2S$ и трехъядерного карбонилсульфида железа $Fe_3S_2(CO)_9$ в процессе фотохимической реакции в бензole при 20° :



* A. Miyake, H. Kondo, M. Aoyama, Angew. Chem. 81, 498 /1969/.

Все три карбонильные группы отщепляются от одного атома железа и удаляется одна трет-бутильная группа. После хроматографии на Al_2O_3 и кристаллизации из смеси бензол-гептан кластер $(\text{Cp}_2\text{Cr}_2\text{SCMe}_3)(\text{S})_2\text{Fe}(\text{S})_2\text{Fe}_2(\text{CO})_6$ (VIII) выделен в виде коричнево-зеленых призм /выход 13%/. В молекуле VIII периферийные биядерные фрагменты содержат короткие связи /Рис.5/ $\text{Cr}(\text{III})-\text{Cr}(\text{III})$ $2,610/2/\text{\AA}$ и $\text{Fe}(\text{II})-\text{Fe}(\text{II})$ $2,503/2/\text{\AA}$. Центральный атом $\text{Fe}(\text{III})$ с электронной конфигурацией d^5 образует четыре связи с μ^3 -сульфидными мостиками /в среднем, $2,268/3/\text{\AA}$, две короткие ординарные связи $\text{Fe}-\text{Cr}$ $2,717/2/\text{\AA}$ и $2,727/2/\text{\AA}$ и две удлиненные половинные связи $\text{Fe}_{\text{центр}}-\text{Fe}_{\text{периф}}$ $3,018/2/\text{\AA}$ и $3,032/2/\text{\AA}$. Плоскости Cr_2Fe и Fe_3 расположены под углом $106,8^\circ$. В соответствии с наличием неспаренных электронов на атомах $\text{Cr}(\text{III})$ и $\text{Fe}(\text{III})$ кластер VIII антиферромагнитен: $\mu_{\text{эфф.}}$ уменьшается от 1,19 до 0,95 м.Б. в интервале температур $296+80$ К, что описывается в рамках модели ГДВФ для тримера с обменными параметрами $-2J(\text{Cr}-\text{Cr})$ 440 см^{-1} и $-2J(\text{Cr}-\text{Fe})$ 630 см^{-1} .

Особенно интересен характер связывания периферийных металлов с центральным атомом железа, который можно описать следующей простой моделью. У центрального атома железа /с d^5 -электронной конфигурацией/ после связывания с четырьмя атомами серы остается пять орбиталей, которые /по правилу Гунца/ будут полуzapолненными. Их взаимодействие с полуzapолненными орбиталами у атомов хрома в антиферромагнитном дихромовом фрагменте дает типичные ординарные связи $\text{Cr}-\text{Fe}$ длиной $2,7 \text{ \AA}$ /как в ранее изученных в нашей лаборатории кластерах $(\text{CpCrOCMe}_3)_2\text{Fe}(\text{CO})_4$ и $(\text{Cp}_2\text{Cr}_2\text{SCMe}_3)(\text{S})_2\text{Fe}(\text{CO})_5$ / . С другой стороны, периферийные атомы железа, имея связь $\text{Fe}-\text{Fe}$ между собой, электрононасыщены и при их взаимодействии с полуzapолненными орбиталами центрально-

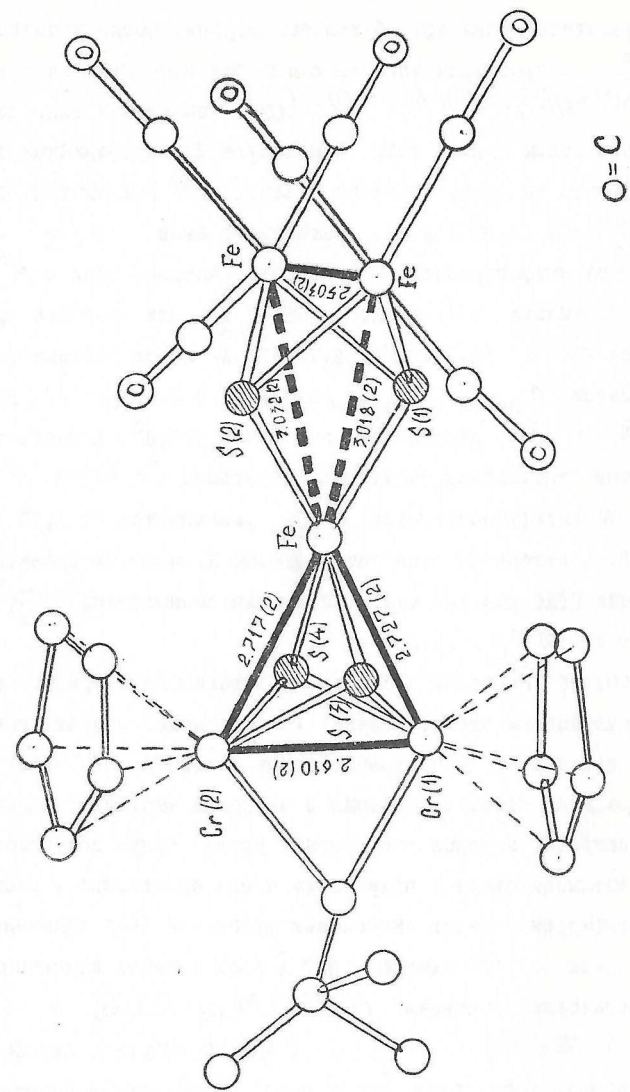


Рис. 5. Молекулярная структура $(\text{Fe}_3\text{S}_4 \cdot \text{Cr}_2\text{O}_3) / (\text{Fe}_3\text{S}_4)_2 \cdot \text{Fe}_2 \cdot (\text{CO})_6$

го атома железа по одному электрону окажется на разрыхляющих орбиталах, т.е. порядок связей будет 0,5. Это полностью соответствует наблюдаемым выравненным расстояниям $\text{Fe}_{\text{центр}} \cdots \text{Fe}_{\text{периф.}}$.

3,0 Å /ординарная периферийная связь $\text{Fe}-\text{Fe}$ 2,6 Å, а несвязывающее расстояние $\text{Fe} \cdots \text{Fe}$ в исходном трехъядерном комплексе железа $\text{Fe}_3 \text{S}_2 (\text{CO})_9$ было 3,4 Å.

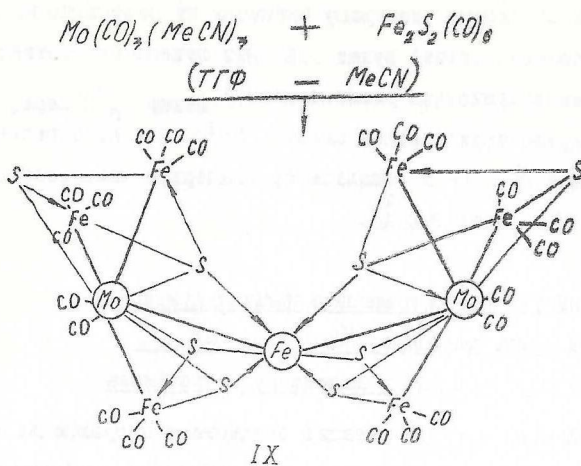
4. Одностадийный синтез и молекулярная структура

девятиядерного кластера $\text{Mo}_2\text{Fe}_7\text{S}_8 (\text{CO})_{22}$,

моделирующего подход к кофактору нитрогеназы

В заключение мы провели реакцию биядерного дисульфидного карбонильного комплекса железа с трикарбонильным комплексом молибдена, содержащим легко вытесняемые ацетонитрильные лиганды, чтобы получить треугольный кластер $(\text{CO})_3\text{MoFe}_2\text{S}_2(\text{OCN})_6$, который содержал бы на два электрона меньше, чем соответствующий чисто железный кластер и потому был бы замкнутым треугольником. Однако оказалось, что реакция идет глубже и в виде темно-коричневых кристаллов из реакционной смеси /ТГФ-ацетонитрил/ выпадает девятиядерный гетерометаллический кластер $\text{Mo}_2\text{Fe}_7\text{S}_8 (\text{CO})_{22}$ (IX), выделенный последующей перекристаллизацией из бензол-гептан в виде сольвата с 1,5 молекулами бензола.

Молекулярная структура IX /рис.6/ состоит из двух фрагментов $(\text{CO})_9\text{Fe}_3(\text{S})_4\text{Mo}(\text{CO})_2$, в которых атомы металлов содержат концевые карбонильные группы /по три у каждого атома Fe и две у атома Mo/, связи $\text{Mo}-\text{S}$ /в среднем, 2,406/3/ Å/, $\text{Fe}-\text{S}$ /в среднем, 2,363/8/ Å/, а также три короткие связи $\text{Mo}-\text{Fe}$ /в среднем, 2,750/2/ Å/, тогда как связи $\text{Fe}-\text{Fe}$ отсутствуют. Атомы Mo в тетраядерных фрагментах соединяются между собой за счет централь-



ного атома Fe , который образует две удлиненные связи $Fe-Mo$ $2,900/2/\text{\AA}$, четыре короткие связи $Fe-(\mu^3-S)/$ в среднем, $2,242/3/\text{\AA}$ и две длинные связи $Fe-(\mu^4-S)/$ в среднем, $2,529/3/\text{\AA}$.

Образование такого кластера можно представить схемой, включающей образование треугольника $(CO)_3Mo(S)_2Fe_2(CO)_6$, который присоединяет еще одну молекулу $Fe_2S_2(CO)_6$, переходя в металлоспирал $(CO)_2Mo[(S)_2Fe_2(CO)_6]$. Наконец, две такие молекулы, теряя $Fe(CO)_5$ и CO , соединяются через мостиковый атом железа, $\mu^3-\mu^4$ — мостиковые атомы серы

Отметим, что такая же комбинация двух фрагментов $MoFe_3S_4$ имеется в модели кофактора нитрогеназы (см. схему ниже). Отличие заключается в том, что в этой модели вместо трех карбонильных групп у каждого атома Fe находится концевая тиолетная группа SR , имеются связи $Fe-Fe$ в фрагментах $MoFe_3$ и нет центрального атома железа. Однако известно, что замену групп CO на SR легко провести обработкой карбонильного интермедиата орга-

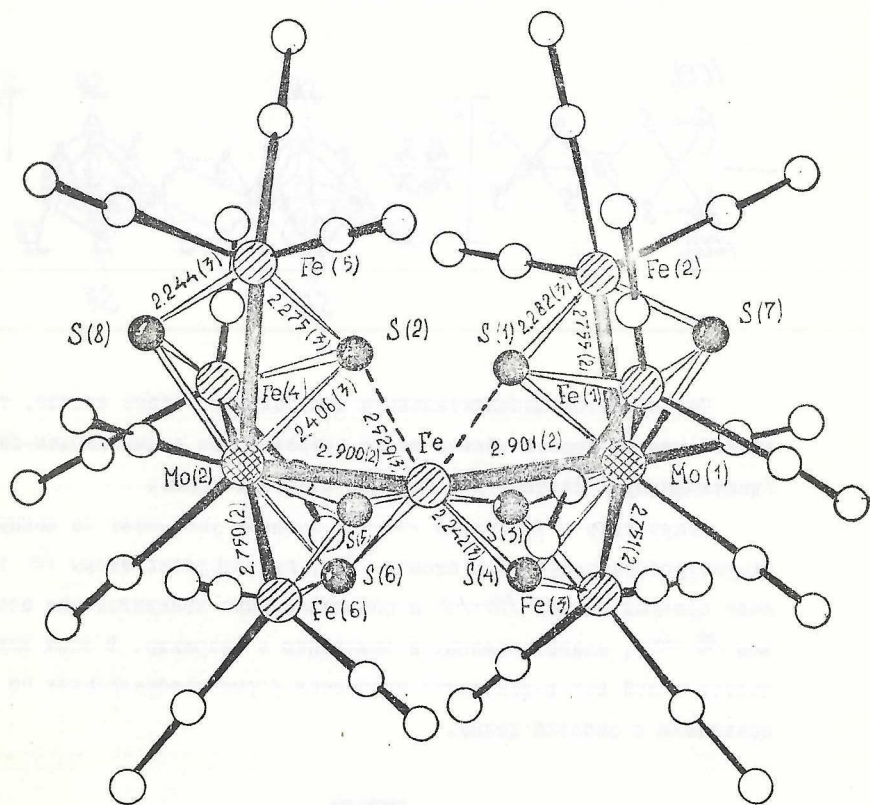
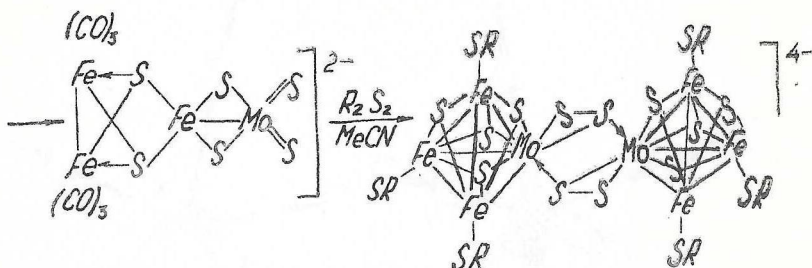
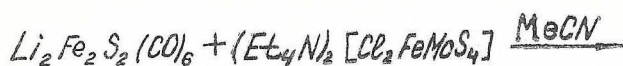


Рис. 6. Молекулярная структура $Mo_2Fe_8(CO)_{22}$

ническими дисульфидами, причем кластер $MoFe_3$ замыкается в тетраэдр / J.A.Kovacs, J.R.Bashkin, R.H.Holm, J.Amer.Chem.Soc., 107, 1784, (1985). /:



Что касается дополнительного центрального атома железа, то видно, что он должен весьма легко встраиваться в димолибден-бис/дисульфидную/ систему в модельном кластере Холма.

Отсутствие в IX связей $Fe-Fe$ впервые указывает на важную структурообразующую роль атомов Mo , группирующих атомы Fe за счет прочных связей $Mo-Fe$ и обеспечивающих возникновение остовов $Mo-Fe_3$, подготовленных к замыканию в тетраэдр. В этом заключается новый шаг к пониманию процессов фрагментообразования по сравнению с работой Холма.

ВЫВОДЫ

I. Показана возможность формирования би- и триядерных тиолат-мостиковых карбонильных комплексов железа из моноядерных карбонильных фрагментов. Установлено, что анти-форма биядерного

комплекса $Fe_2(CO)_6(SCMe_3)_2$ определяет геометрию триядерного комплекса $Fe_3(CO)_9(\mu^3-SR)(\mu-SR)$.

2. Впервые проведена реакция переметаллизирования $Fe_3(CO)_9S_2$ с образованием $(PPh_3)_2Pd(S_2)Fe_2(CO)_8$, который не содержит связей $Pd-Fe$ и моделирует иммобилизованные катализаторы.
3. Необычным окислительным присоединением $Fe_2S_2(CO)_6$ к двум молекулам бис/метилцикlopентадиенил/ванадия получен новый гетерометаллический комплекс $(Cp_2V_2S_2)Fe_2(CO)_6$. Он содержит два парамагнитных иона ванадия и моделирует обменные процессы в магнитных материалах со структурой шпинели.
4. Впервые показана возможность использования $Fe_3(S)_2(CO)_9$, как "строительного блока" в синтезе гетерометаллических кластеров. Получен новый антиферромагнитный гетерометаллоспиранный кластер $(Cp_2Cr_2SCMe_3)_2Fe_2Fe(CO)_6$ с ординарными связями Fe центр- Cr и половинными связями Fe центр- Fe перифер.
5. Впервые получен девятиядерный гетерометаллический кластер $Mo_2Fe_7S_8(CO)_{22}$, в котором два фрагмента Mo_2 содержат только ординарные связи $Mo-Fe$, причем атомы Mo соединены между собой мостиковым атомом железа. Кластер рассматривается, как модель одной из стадий формирования активного центра кофактора нитрогеназы и впервые указывает на структурообразующую роль атомов Mo, "собирающих" атомы железа за счет прочных связей $Mo-Fe$.

Основное содержание диссертации опубликовано в следующих работах:

I. А.А.Пасынский, И.Л.Еременко, А.С.Абдуллаев, Б.Оразсаатов, А.И.Нехаев, В.Е.Шкловер, Ю.Т.Стручков, "Одностадийный синтез и молекулярная структура девятиядерного кластера $Mo_2Fe_7S_8(CO)_{22}$, моделирующего подход к кофактору нитрогеназы" Изв. АН СССР, се-

рия хим., 1986, 2157.

2. А.А.Пасынский, А.С.Катугин, И.Л.Еременко, Б.Оразсахатов, В.М.Новоторцев, А.С.Абдуллаев, А.И.Нехаев, В.Е.Шкловер, Ю.Т.Стручков, "Синтез и молекулярная структура антиферромагнитного кластера $(Cr_1Cr_2SCMe_3)_2Fe_2S_2Fe_2(O)_6$ с гетерометаллоспиральновым остовом Cr_2Fe_3 ". Изв. АН СССР, серия хим., 1986, 2395.

3. И.Л.Еременко, Б.Оразсахатов, А.С.Абдуллаев, С.Б.Кацер, А.И.Нехаев, В.Е.Шкловер, Ю.Т.Стручков, "Синтез и строение гетерометаллических производных $Fe_2S_2(O)_6$, содержащих атомы Pd и V ". Журнал Всесоюзного химического общества им.

Д.И.Менделеева. 1987.- т.32, № 1.

4. М.А.Порай-Кошиц, А.С.Анцышкина, С.Б.Кацер, А.С.Абдуллаев, А.С.Катугин, И.Л.Еременко, А.С.Алиев, А.А.Пасынский, "Закономерности синтеза и геометрии карбонильных комплексов железа, молибдена и рения с тиолатными мостиками". Журнал Всесоюзного химического общества им. Д.И.Менделеева. 1987.- т.32, № 1.

Т О6743 от.16.01.87г.

ЗАК. 50 ТИР.100

ТИПОГРАФИЯ МГИ